

Implementación de un motor de Red Neuronal

Joel Clemente López , Adonai Ojeda , Daniel Medina

November 4, 2024

Abstract

Este proyecto consiste en la implementación de una red neuronal desde cero en Python, sin utilizar librerías de aprendizaje profundo como TensorFlow o PyTorch. La red neuronal se ha entrenado y evaluado en tres conjuntos de datos clásicos: **Iris**, **Digits** y **Wine**. Este documento explica las clases y funciones diseñadas, los modelos desarrollados, así como el análisis de rendimiento mediante curvas ROC y matrices de confusión. El objetivo es demostrar el proceso de diseño, entrenamiento y evaluación de una red neuronal simple para tareas de clasificación multiclase.

1 Introducción

Las redes neuronales artificiales son modelos computacionales inspirados en el cerebro humano, ampliamente utilizados para el reconocimiento de patrones y clasificación de datos. Este proyecto implementa desde cero una red neuronal, abordando todas las etapas del diseño de una red neuronal: definición de capas, funciones de activación, retropropagación y optimización de los pesos. Para poder poner a prueba nuestra Red Neuronal, hemos seleccionado los conjuntos de datos **Iris**, **Digits** y **Wine** para entrenar y evaluar distintos modelos de red, lo que nos permite analizar cómo diferentes arquitecturas y funciones de activación afectan el rendimiento.

2 Detalles de Implementación

2.1 Funciones de Activación - `activations.py`

En `activations.py`, se definen funciones esenciales para introducir no linealidad en la red neuronal, permitiendo al modelo aprender representaciones complejas de los datos. Las funciones implementadas son:

- **ReLU** (*Rectified Linear Unit*): Devuelve 0 para valores negativos y el valor de entrada para valores positivos. Su derivada es 1 para valores positivos y 0 para negativos.

$$f(x) = \max(0, x)$$

- **Softmax**: Normaliza las salidas en probabilidades, útil en la capa de salida para clasificación multiclase. Su derivada calcula el gradiente necesario para la retropropagación.

$$f(x_i) = \frac{e^{x_i}}{\sum_j e^{x_j}}$$

- **Sigmoid**: Transforma la entrada a un rango entre 0 y 1. Es utilizada en capas ocultas y su derivada es útil en retropropagación.

$$f(x) = \frac{1}{1 + e^{-x}}$$

- **Tanh**: Rango entre -1 y 1, que suele converger más rápido que *sigmoid*. La derivada es útil para retropropagación.

2.2 Clase de Capa - `layer.py`

El archivo `layer.py` define la clase `Layer`, que representa una capa individual de la red. Sus principales atributos y métodos son:

- **Atributos**: Dimensiones de la capa, función de activación y derivada.
- **Método forward**: Realiza la propagación hacia adelante en la capa. Calcula las activaciones para cada neurona aplicando la función de activación.

La clase `Layer` permite diseñar capas personalizadas para las redes neuronales, facilitando la configuración de arquitecturas específicas según el conjunto de datos y los objetivos.

2.3 Red Neuronal - `neural_network.py`

La clase `NeuralNetwork`, en el archivo `neural_network.py`, maneja la estructura completa de la red. Esta clase permite añadir múltiples capas de la clase `Layer` y define los métodos fundamentales para el aprendizaje supervisado:

- **Método `feedforward`:** Propaga las entradas a través de todas las capas hasta la capa de salida.
- **Método `backpropagation`:** Ajusta los pesos mediante la retropropagación, calculando gradientes y actualizando los pesos.
- **Método `accuracy`:** Calcula la precisión del modelo comparando etiquetas predichas y reales, proporcionando una medida de rendimiento.

2.4 Preprocesamiento - `preprocessing.py`

El archivo `preprocessing.py` contiene la función `preprocess_data`, que transforma los datos de entrada mediante normalización y estandarización, optimizando así el rendimiento de la red.

2.5 Optimizador - `optimizers.py`

El archivo `optimizers.py` implementa la función `gradient_descent`, un optimizador que ajusta los pesos del modelo. Esta función utiliza el descenso de gradiente para minimizar la pérdida, mejorando la precisión de la red. Por otro lado, el optimizador *Adam* (Adaptive Moment Estimation) mejora la velocidad de convergencia al calcular promedios móviles de primer y segundo orden de los gradientes, utilizando parámetros de momento (`beta1` y `beta2`). Esta estrategia permite ajustar dinámicamente la tasa de aprendizaje, haciendo a Adam más eficiente en problemas de optimización complicados y con grandes volúmenes de datos.

El algoritmo de Descenso de Gradiente ajusta los pesos de la red en la dirección del gradiente negativo de la función de pérdida para minimizarla.

Algorithm 1 Descenso de Gradiente

Require: α : tasa de aprendizaje, $L(\theta)$: función de pérdida, θ : parámetros iniciales

- 1: **while** no se alcanza la convergencia **do**
- 2: Calcular el gradiente $\nabla L(\theta)$
- 3: Actualizar los parámetros: $\theta \leftarrow \theta - \alpha \cdot \nabla L(\theta)$
- 4: **end while**
- 5: **return** θ (parámetros optimizados)

Adam es un optimizador que combina el Descenso de Gradiente Estocástico con promedios móviles de primer y segundo orden de los gradientes. Es más eficiente para grandes volúmenes de datos o problemas con muchos parámetros.

Algorithm 2 Adam

Require: α : tasa de aprendizaje, β_1, β_2 : factores de decaimiento, ϵ : pequeña constante, $L(\theta)$: función de pérdida, θ : parámetros iniciales

- 1: Inicializar $m \leftarrow 0$ (promedio móvil de primer orden)
- 2: Inicializar $v \leftarrow 0$ (promedio móvil de segundo orden)
- 3: Inicializar $t \leftarrow 0$ (contador de iteraciones)
- 4: **while** no se alcanza la convergencia **do**
- 5: $t \leftarrow t + 1$
- 6: Calcular el gradiente: $g \leftarrow \nabla L(\theta)$
- 7: Actualizar el promedio de primer orden: $m \leftarrow \beta_1 \cdot m + (1 - \beta_1) \cdot g$
- 8: Actualizar el promedio de segundo orden: $v \leftarrow \beta_2 \cdot v + (1 - \beta_2) \cdot g^2$
- 9: Calcular corrección de sesgo para m : $\hat{m} \leftarrow \frac{m}{1 - \beta_1^t}$
- 10: Calcular corrección de sesgo para v : $\hat{v} \leftarrow \frac{v}{1 - \beta_2^t}$
- 11: Actualizar los parámetros: $\theta \leftarrow \theta - \alpha \cdot \frac{\hat{m}}{\sqrt{\hat{v}} + \epsilon}$
- 12: **end while**
- 13: **return** θ (parámetros optimizados)

2.6 Visualización de Resultados - visualizations.py

El archivo `visualizations.py` incluye funciones para evaluar el rendimiento del modelo visualmente:

- **plot_confusion_matrix**: Genera una matriz de confusión, permitiendo analizar las clasificaciones correctas e incorrectas.
- **roc_curve**: Muestra la curva ROC para analizar la tasa de verdaderos y falsos positivos en cada clase.

2.7 Carga de Datos - load_data.py

El archivo `load_data.py` en la carpeta `data` se utiliza para cargar los conjuntos de datos Iris, Digits y Wine. Este archivo contiene funciones para obtener los datos y etiquetas necesarios para el entrenamiento.

2.8 Notebook de Pruebas: `main.ipynb`

Entrenamiento del Modelo: Aquí se entrena la red neuronal utilizando los conjuntos de datos preprocesados. Se instancian diferentes arquitecturas de red neuronal aplicando las clases y funciones del proyecto, permitiendo experimentar con diversas configuraciones de capas, funciones de activación y optimización. En esta sección se registran métricas clave, como la precisión en cada época, para observar la evolución del modelo durante el entrenamiento.

Evaluación del Modelo: Tras el entrenamiento, el modelo es evaluado en un conjunto de pruebas para medir su rendimiento general. Esta evaluación incluye el cálculo de métricas como precisión, exactitud, sensibilidad y especificidad, proporcionando un análisis detallado del comportamiento de la red en términos de clasificación. Los resultados ayudan a identificar posibles ajustes o mejoras en la arquitectura de la red y en el preprocesamiento de datos.

Visualización de Resultados: En esta sección, se generan gráficos que permiten analizar el rendimiento del modelo de forma visual. Entre las visualizaciones producidas están:

- **Curvas de Entrenamiento:** Se generan gráficos de precisión y pérdida en función del número de épocas para evaluar el aprendizaje y observar posibles problemas de sobreajuste.
- **Matrices de Confusión:** Utilizando la función `plot_confusion_matrix` de `visualizations.py`, se visualizan las predicciones del modelo en comparación con las etiquetas reales. Esto permite identificar cuáles clases son las más difíciles de distinguir y ajustar la arquitectura en consecuencia.
- **Curvas ROC:** Para cada clase, se genera la curva ROC utilizando la función `roc_curve`, lo que permite evaluar la capacidad del modelo para distinguir entre clases y analizar la tasa de verdaderos positivos frente a falsos positivos.

Pruebas Adicionales: Esta sección incluye experimentos adicionales con distintas configuraciones de la red neuronal, como variaciones en el número de capas, cambios en las funciones de activación y ajustes de los parámetros de optimización. Cada configuración se evalúa y compara en términos de precisión y otras métricas, permitiendo identificar la mejor configuración para cada conjunto de datos.

Conclusión de Pruebas: En esta última sección, se presenta un resumen de los resultados obtenidos a lo largo de las pruebas, destacando los mejores modelos y sus configuraciones óptimas. Además, se discuten posibles mejoras y próximos pasos para optimizar aún más el rendimiento de la red neuronal en distintos tipos de datos.

3 Métodos y Conjuntos de Datos

3.1 Conjunto de Datos Iris

El conjunto de datos Iris contiene 150 muestras de 3 especies de plantas, con 4 características cada una. Dos modelos de red se entrenaron en Iris:

- **Modelo 1:** Capa oculta de 5 neuronas (*ReLU*) y capa de salida de 3 neuronas (*softmax*).
- **Modelo 2:** Red con 3 capas ocultas de diferentes tamaños y *softmax* en la salida.
- **Modelo 3:** Red con 3 capas ocultas de diferentes tamaños usando la función de activación *ReLU* y *Tanh* y *softmax* en la salida.

Se evaluó el rendimiento con matrices de confusión y precisión antes y después del entrenamiento.

3.2 Conjunto de Datos Digits

El conjunto de datos Digits tiene imágenes de dígitos (0-9) representados en matrices de 8x8. Dos arquitecturas de red se entrenaron en Digits:

- **Modelo 1:** Capa oculta de 5 neuronas (*tanh*) y capa de salida de 10 neuronas (*softmax*).
- **Modelo 2:** Red profunda con 3 capas ocultas de diferentes tamaños *sigmoid* y *softmax* en la salida.
- **Modelo 3:** Red con 3 capas ocultas de diferentes tamaños usando la función de activación *ReLU* y *Tanh* y *softmax* en la salida.

Se utilizó la curva ROC para evaluar cada clase y visualizar la precisión del modelo.

3.3 Conjunto de Datos Wine

Para el conjunto de datos Wine (clasificación de 3 tipos de vino, con 13 características), también se entrenaron dos modelos:

- **Modelo 1:** Tres capas, con *ReLU* y *softmax* en la capa de salida.
- **Modelo 2:** Cinco capas ocultas con *sigmoid* y una capa de salida de 3 neuronas con *softmax*.

Cada modelo se evaluó mediante precisión y curva ROC, observando los resultados de predicción de clases de vino.

4 Experimentos y Resultados

Los resultados obtenidos muestran la precisión antes y después del entrenamiento, con una mejora significativa en cada modelo. Además, las matrices de confusión y las curvas ROC permiten analizar el rendimiento de los modelos en cada clase, resaltando fortalezas y áreas de mejora.

4.1 Test del Modelo Iris

En este análisis, se han implementado tres modelos de red neuronal con diferentes arquitecturas y configuraciones de capas para evaluar su capacidad de clasificación. El primer modelo, diseñado con una arquitectura simple,. El segundo modelo, que incrementa la complejidad al introducir múltiples capas ocultas. Finalmente, el tercer modelo, que continúa añadiendo capas, sugiriendo que la sobrecomplicación de la red puede llevar a un ligero descenso en la capacidad de generalización.

Modelo 1:

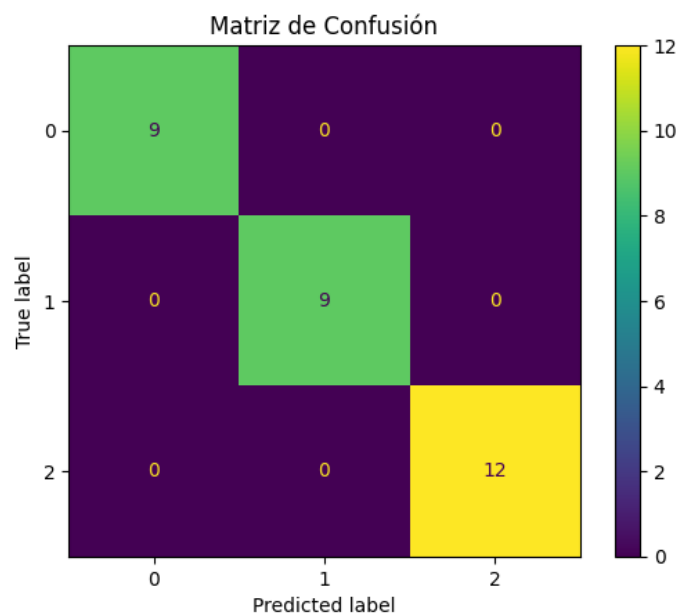


Figure 1: Model 1

Modelo 2:

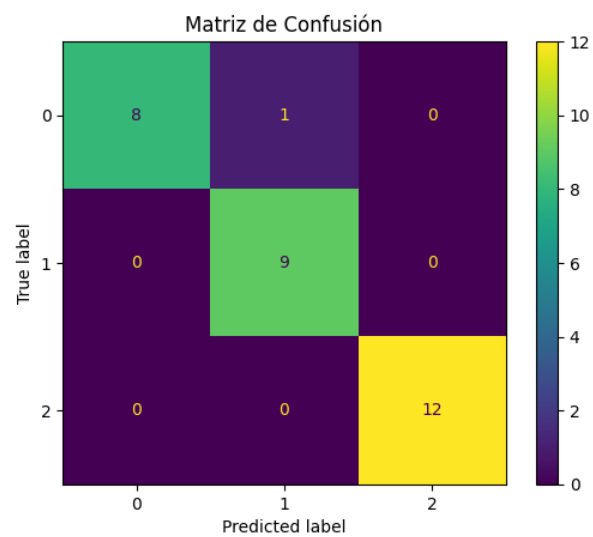


Figure 2: Model 2

Modelo 3:

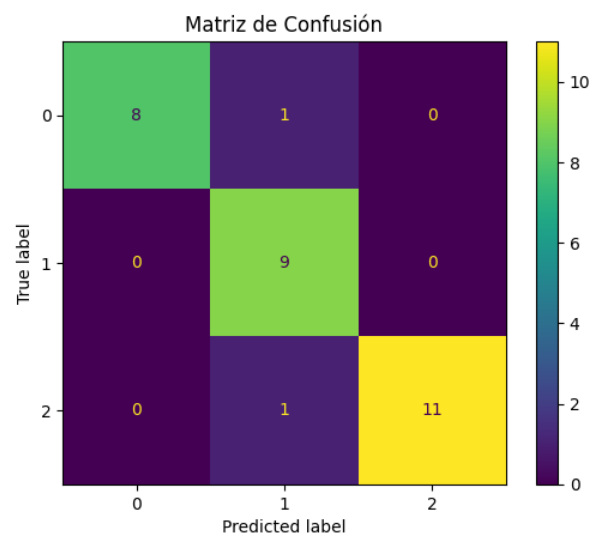


Figure 3: Model 3

Los resultados del entrenamiento de los modelos en el conjunto de datos Iris evidencian la relación entre la complejidad del modelo y su rendimiento en términos de precisión. El primer modelo, que presenta una arquitectura sencilla con solo una capa oculta de 5 neuronas y una función de activación ReLU, logró una precisión del 100%. Este resultado sugiere que incluso las configuraciones menos complejas pueden alcanzar un rendimiento óptimo en conjuntos de datos bien estructurados y menos propensos a la sobreajuste, como es el caso del conjunto de datos Iris.

En contraste, el segundo modelo, que incorpora una mayor complejidad al tener múltiples capas ocultas, obtuvo una precisión de 96%. Aunque esta cifra es aún alta, sugiere que agregar más capas y neuronas puede, en algunos casos, resultar en un leve descenso en el rendimiento, probablemente debido a la introducción de más parámetros y la posibilidad de sobreajuste.

El tercer modelo, que implementa una red aún más profunda al añadir más capas, alcanzó una precisión del 93%. Este ligero descenso en la precisión, en comparación con los modelos anteriores, refuerza la idea de que, a medida que aumentamos la complejidad de la red, el riesgo de sobreajuste puede incrementar, especialmente en conjuntos de datos más pequeños como Iris.

Estos resultados subrayan la importancia de encontrar un equilibrio entre la complejidad del modelo y la capacidad de generalización. Mientras que un modelo más simple puede capturar adecuadamente las relaciones subyacentes en los datos, modelos más complejos pueden no necesariamente traducirse en mejoras significativas en la precisión, y pueden requerir ajustes adicionales y técnicas de regularización para optimizar su rendimiento. En conclusión, se debe evaluar cuidadosamente la arquitectura de la red neuronal en función del conjunto de datos y del problema específico para lograr resultados óptimos.

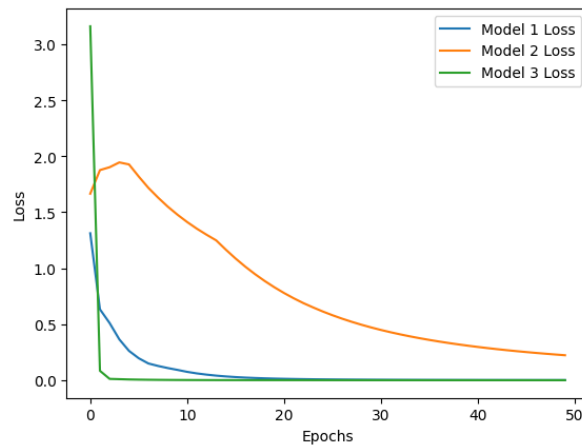


Figure 4: Loss

4.2 Test del Modelo Digits

En este análisis, se desarrollan y comparan tres modelos de red neuronal con diferentes arquitecturas para optimizar la precisión en la clasificación. El primer modelo, diseñado para ser compacto, logra una precisión aceptable, pero su simplicidad limita su capacidad para capturar la complejidad de los datos. El segundo modelo, con una estructura más profunda y múltiples capas ocultas, muestra una mejora significativa en la precisión, sugiriendo que ha aprendido patrones más complejos. Sin embargo, un tercer modelo con mayor complejidad no logra una mejora en la precisión esperada, lo que plantea la necesidad de un equilibrio entre la complejidad de la arquitectura y la capacidad de generalización.

Modelo 1:

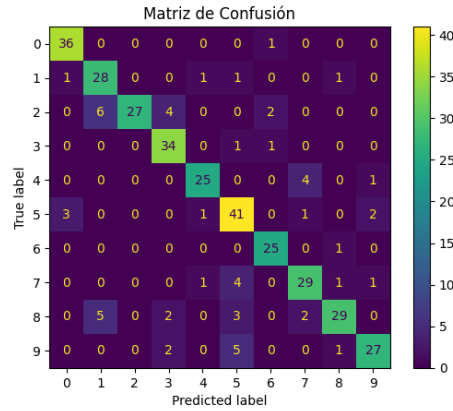


Figure 5: Model 1

Modelo 2:

En el análisis de los tres modelos de red neuronal aplicados al conjunto de datos Digits, se observó que la complejidad de la arquitectura no siempre se traduce en una mejor precisión. El primer modelo, aunque simple, alcanzó una precisión aceptable, mientras que el segundo modelo, con su diseño más complejo, mejoró notablemente la precisión, demostrando la capacidad de la red para aprender patrones más elaborados en los datos. Sin embargo, el tercer modelo, a pesar de su mayor complejidad, obtuvo muy poca precisión.

Estos resultados destacan la importancia de una adecuada selección de la arquitectura de la red y la necesidad de realizar pruebas y ajustes meticulosos para encontrar un equilibrio óptimo entre la complejidad del modelo y su capacidad de generalización. En última instancia, el éxito en la clasificación de dígitos manuscritos depende de una combinación de factores, incluida la arquitectura, las funciones de activación y el proceso de optimización, lo que requiere un enfoque experimentado para mejorar continuamente el rendimiento.

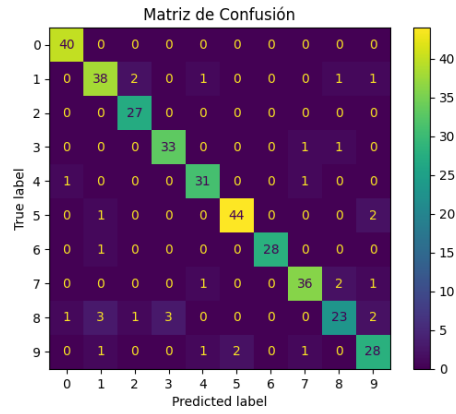


Figure 6: Model 2

4.3 Test del Modelo Wine

En este estudio, se han implementado dos modelos de red neuronal para evaluar su capacidad de clasificación. El primer modelo logró una precisión sólida, indicando una adecuada arquitectura y elección de funciones de activación. A partir de estos resultados, se diseñó un segundo modelo más complejo con el objetivo de mejorar el rendimiento.

Modelo 1:

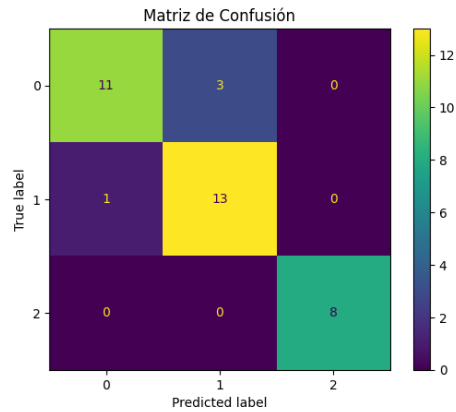


Figure 7: Model 1

Modelo 2:

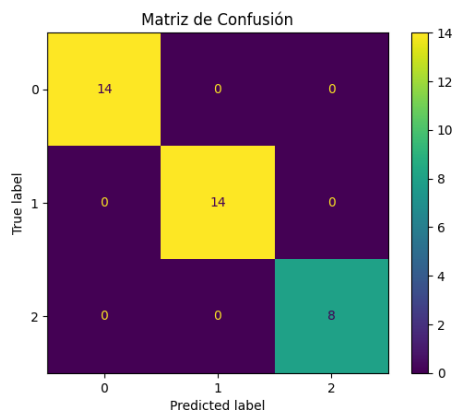


Figure 8: Model 2

Los resultados obtenidos de los modelos de red neuronal aplicados al conjunto de datos Wine destacan la efectividad de las configuraciones elegidas. El modelo nn alcanzó una precisión sólida en la clasificación, lo que sugiere que su arquitectura y funciones de activación fueron adecuadas para el problema. Sin embargo, el modelo nn2, con su arquitectura más compleja de cinco capas y el uso de la función de activación sigmoid, logró una impresionante precisión del 100 por ciento. Este resultado indica que el modelo pudo aprender eficazmente las complejas relaciones entre las características químicas de los vinos y sus clases correspondientes. A pesar del rendimiento sobresaliente del modelo nn2, aún hay margen para la mejora.

5 Conclusiones

Este estudio se centró en la implementación y evaluación de redes neuronales para la clasificación de tres conjuntos de datos: Iris, Digits y Wine. A lo largo del trabajo, se desarrollaron diversos modelos con distintas arquitecturas y funciones de activación, analizando su rendimiento en términos de precisión y capacidad de generalización.

Los resultados revelaron que un equilibrio adecuado entre la complejidad del modelo y su rendimiento es esencial. En el caso del conjunto de datos Iris, modelos más simples lograron altas precisiones, destacando que una arquitectura menos compleja puede ser efectiva en conjuntos de datos bien estructurados. Sin embargo, la introducción de más capas y parámetros en los modelos más complejos no siempre se tradujo en mejoras en la precisión, lo que sugiere un riesgo de sobreajuste.

En el análisis del conjunto de datos Digits, se observó que la complejidad de la arquitectura puede permitir que los modelos aprendan patrones más sofisticados. No obstante, también se evidenció que una mayor complejidad no garantiza una mejora en la precisión, lo que pone de relieve la importancia de la selección y ajuste de hiperparámetros adecuados.

Finalmente, en el conjunto de datos Wine, los modelos demostraron una notable capacidad de clasificación, y el modelo más complejo alcanzó un rendimiento sobresaliente. Esto enfatiza el papel crucial de la arquitectura y las funciones de activación en el aprendizaje efectivo de relaciones complejas entre las características de los datos.

En conjunto, estos hallazgos subrayan la necesidad de una estrategia reflexiva en el diseño de modelos de redes neuronales, donde la arquitectura debe ser elegida en función de las características específicas del conjunto de datos y del problema a resolver. Este enfoque permite optimizar la precisión y la capacidad de generalización de los modelos, contribuyendo así a un avance significativo en el campo del aprendizaje automático.

6 Trabajo Futuro

En este proyecto, hemos desarrollado un motor de redes neuronales modular que permite la implementación de arquitecturas personalizadas y una experimentación flexible. Sin embargo, existen varias áreas en las que el trabajo puede ampliarse y mejorarse en futuros desarrollos:

- **Optimización de Desempeño:** Si bien el modelo es funcional, el rendimiento puede optimizarse aún más mediante el uso de técnicas avanzadas de optimización y paralelización, como el uso de procesamiento en GPU.
- **Incorporación de Técnicas de Regularización:** Añadir regularización, como la normalización batch, el dropout o la penalización de pesos, podría mejorar la capacidad general de generalización del modelo y reducir el sobreajuste en conjuntos de datos complejos.
- **Soporte para Redes Neuronales Profundas:** Actualmente, el motor está diseñado para redes de tamaño moderado. En el futuro, se podría adaptar el diseño para soportar arquitecturas de redes neuronales profundas, como redes convolucionales (CNN) y redes recurrentes (RNN), que requieren estructuras y operaciones específicas.
- **Evaluación y Benchmarking Ampliado:** Se podrían realizar evaluaciones de rendimiento en un conjunto más amplio de conjuntos de datos y problemas de diferentes dominios, como clasificación de imágenes, procesamiento de texto y series temporales. Esto proporcionaría una visión más completa de las capacidades y limitaciones del motor.
- **Interfaz de Usuario y Visualización:** Implementar una interfaz gráfica o un tablero de control podría facilitar la visualización de métricas de rendimiento y el seguimiento del progreso durante el entrenamiento, permitiendo a los usuarios ajustar parámetros en tiempo real.
- **Compatibilidad con Otros Lenguajes de Programación:** Una extensión interesante sería hacer que el motor sea compatible con otros lenguajes de programación mediante la creación de API o interfaces que permitan la integración con aplicaciones escritas en Python, Java, o C++.

En resumen, estos elementos representan posibles vías de desarrollo para mejorar y expandir el alcance del motor de redes neuronales, haciendo que sea más robusto y accesible para usuarios en una variedad de aplicaciones.

7 Bibliografía

References

- [1] GitHub Repository: ModularNNEngine.
- [2] OpenAI. "OpenAI: AI Research and Deployment." <https://www.openai.com>.
- [3] Google DeepMind. "Google: Gemini AI Model." <https://deepmind.google/technologies/gemini/>.
- [4] SciTools Iris Documentation. <https://scitools-iris.readthedocs.io/en/stable/>.
- [5] Scikit-learn Wine Dataset Documentation. [https://scikit-learn.org/1.5/modules/generated/sklearn.datasets/load_w*wine.html*](https://scikit-learn.org/1.5/modules/generated/sklearn.datasets.load_wine.html).
- [6] Scikit-learn Digits Dataset Documentation. [https://scikit-learn.org/stable/modules/generated/sklearn.datasets/load_d*igits.html*](https://scikit-learn.org/stable/modules/generated/sklearn.datasets.load_digits.html).
- [7] Stack Overflow. <https://stackoverflow.com>.